

เปรียบเทียบการตรวจหาไวรัสพรากอรี ซินไซเทียล ไวรัส ค้ำยวีธี อิมมูโนฟลูออเรสเซนซ์,
ไบโอดีเอ็นเอ-อิกทีน-อีไลซา, การแยกเชื้อค้ำยวีธีธรรมชาติและวีธีเซลล์ไวอัล



นางสาว จินตนา วุฑฒากร

วิทยานิพนธ์นี้เป็นส่วนหนึ่งของการศึกษาคณะหลักสูตรปริญญาวิทยาศาสตรมหาบัณฑิต

สาขาวิชาจุลชีววิทยาทางการแพทย์

บัณฑิตวิทยาลัย จุฬาลงกรณ์มหาวิทยาลัย

พ.ศ. 2532

ISBN 974-569-792-3

ลิขสิทธิ์ของบัณฑิตวิทยาลัย จุฬาลงกรณ์มหาวิทยาลัย

015282

**COMPARISON OF IMMUNOFLUORESCENCE, BIOTIN-AVIDIN-ELISA,
CELL CULTURE AND SHELL VIAL TECHNIQUE FOR DETECTION OF
RESPIRATORY SYNCYTIAL VIRUS**

Miss Jintana Woodtayagone

**A Thesis Submitted in Partial Fulfillment of the Requirements
for the Degree of Master of Science
Inter-Department of Medical Microbiology
Graduate School
Chulalongkorn University**

1989

ISBN 974-569-792-3

หัวข้อวิทยานิพนธ์

เปรียบเทียบการตรวจหาไวรัสโคโรนา ซีนาเซเทียลวาร์ส
ด้วยวิธีอิมมูโนฟลูออเรสเซนซ์, โบโตน-อวิติน-อีไลซา,
การแยกเชื้อด้วยวิธีธรรมดา และวิธีเซลล์ไวอัล

โดย

นางสาว จินตนา วุฒยากร

สาขาวิชา

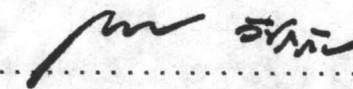
จุลชีววิทยาทางการแพทย์

อาจารย์ที่ปรึกษา

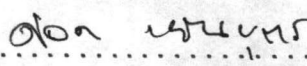
รองศาสตราจารย์ แพทย์หญิง วรรณภา พรรณรักษา

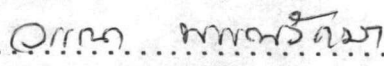


บัณฑิตวิทยาลัย จุฬาลงกรณ์มหาวิทยาลัย อนุมัติให้บัณฑิตวิทยาลัยนี้เป็นส่วนหนึ่ง
ของการศึกษาตามหลักสูตรปริญญาวิทยาศาสตรบัณฑิต

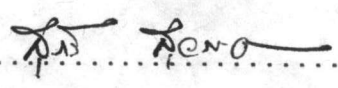

..... คณบดีบัณฑิตวิทยาลัย
(ศาสตราจารย์ ดร.ถาวร วัชรากษ์)

คณะกรรมการการสอบวิทยานิพนธ์


..... ประธานกรรมการ
(รองศาสตราจารย์ นายแพทย์ติลก เย็นบุตร)


..... กรรมการ
(รองศาสตราจารย์ แพทย์หญิงวรรณภา พรรณรักษา)


..... กรรมการ
(อาจารย์ แพทย์หญิงซิ่นศักดิ์ ไชยวาส)


..... กรรมการ
(ศาสตราจารย์ แพทย์หญิงสุกรี สุวรรณรุ่งระ)

พิมพ์ต้นฉบับบทความวิทยานิพนธ์ภายในกรอบสี่เหลี่ยมนี้เพียงแผ่นเดียว



จินตนา วุฒยากร : เปรียบเทียบการตรวจหาเรสไปราตอรี ซินไซเทียล ไวรัสด้วยวิธีอิมมูโนฟลูออเรสเซนซ์ ไบโอดิน-อวิดิน-อีไลซา, การแยกเชื้อด้วยวิธีธรรมคาและวิธี เซลล์ไวอัล (COMPARISON OF IMMUNOFLUORESCENCE, BIOTIN-AVIDIN-ELISA, CELL CULTURE AND SHELL VIAL TECHNIQUE FOR DETECTION OF RESPIRATORY SYNCYTIAL VIRUS) อ.ที่ปรึกษา : รศ.พญ.วรรณา พรหมรักษา, หน้า.

เรสไปราตอรี ซินไซเทียล ไวรัส เป็นไวรัสที่ทำให้เกิดโรคระบบทางเดินหายใจส่วนล่างในเด็ก โดยเฉพาะในเด็กเล็กช่วงขวบปีแรก มักเกิดอาการรุนแรง และมีอัตราตายสูงเป็นปัญหาทำให้เกิดการติดเชื้อในโรงพยาบาล การวินิจฉัยการติดเชื้อยังคงอาศัยวิธีทางห้องปฏิบัติการเป็นสำคัญ ดังนั้น ในการศึกษาครั้งนี้จึงได้ดำเนินการพัฒนารูปแบบการตรวจวินิจฉัยการติดเชื้อด้วยวิธี ไบโอดิน-อวิดิน-อีไลซา และได้ทำการศึกษาเปรียบเทียบวิธีการตรวจหา เรสไปราตอรี ซินไซเทียล ไวรัสในสิ่งส่งตรวจจากคนไข้ 4 วิธีด้วยกันคือ วิธีอิมมูโนฟลูออเรสเซนซ์, ไบโอดิน-อวิดิน-อีไลซา, การเพาะแยกเชื้อไวรัสด้วยวิธีธรรมคาและวิธี เซลล์ไวอัล เพื่อหาวิธีที่เหมาะสมสำหรับใช้เป็นประจำในห้องปฏิบัติการ

การพัฒนารูปแบบไบโอดิน-อวิดิน-อีไลซา นี้ได้ใช้น้ำยาของบริษัท Dako โดยในขั้นตอนแรกจะเคลือบหลอดด้วย rabbit anti-RSV และ normal rabbit immunoglobulin แล้วเติมสิ่งส่งตรวจจากคนไข้ให้ทำปฏิกิริยากัน เติม biotinylated anti-RSV จากนั้นเติม avidin conjugated peroxidase และ substrate ตามลำดับ

การพัฒนารูปแบบ เซลล์ไวอัล อาศัยการปั่นมาช่วยเพิ่มความไวของการทดสอบ เมื่อใส่ตัวอย่างแล้วนำไปปั่นด้วยความแรง 1,300 g ที่อุณหภูมิห้อง (25°C) นาน 1 ชั่วโมง อบไว้ที่อุณหภูมิ 37°C นาน 18-24 ชั่วโมง จึงนำมาแยกเอาแอนติเจนของไวรัสด้วยวิธีอิมมูโนฟลูออเรสเซนซ์

เมื่อทำการเปรียบเทียบการตรวจหาเรสไปราตอรี ซินไซเทียลใน nasopharyngeal secretion ของเด็กที่มีอาการของโรคในระบบทางเดินหายใจ ส่วนล่างจำนวน 133 ราย พบว่า วิธีเซลล์ไวอัลให้ผลบวก 45 ราย คิดเป็น 33.3% ในจำนวนนี้พบว่า ให้ผลบวกกับวิธีไบโอดิน-อวิดิน-อีไลซา 40 ราย (30%) วิธีอิมมูโนฟลูออเรสเซนซ์ 36 ราย (27%) และให้ผลบวกกับการเพาะแยกเชื้อเพียง 32 ราย (24.1%) ซึ่งทำให้วิธีเหล่านี้มีความไวเมื่อเทียบกับวิธีเซลล์ไวอัลเป็น 88.9%, 80% และ 71% ความจำเพาะของวิธีทั้งหมดมีค่าเท่ากันคือ 100% ค่าความเชื่อถือเมื่อการทดสอบบอกผลบวกของวิธีไบโอดิน-อวิดิน-อีไลซา, วิธีอิมมูโนฟลูออเรสเซนซ์ และการแยกเชื้อด้วยวิธีธรรมคา มีค่าเป็น 100% เท่ากัน ส่วนค่าความเชื่อถือเมื่อการทดสอบบอกผลลบมีค่าเป็น 94.6%, 90.7% และ 88% ตามลำดับ

จากผลที่ได้ในการศึกษาครั้งนี้ชี้ให้เห็นว่า วิธีเซลล์ไวอัลเป็นวิธีที่มีความไวและใช้เวลาน้อยกว่าการเพาะเลี้ยงไวรัสแบบธรรมคาในการวินิจฉัยการติดเชื้อเรสไปราตอรี ซินไซเทียล ไวรัส และเป็นวิธีที่มีความไวสูงสุด ในบรรดาวิธีที่นำมาศึกษาครั้งนี้ และเป็นวิธีที่ใช้อ้างอิงได้ สำหรับวิธีไบโอดิน-อวิดิน-อีไลซา เป็นวิธีที่มีความไวกว่าวิธีอิมมูโนฟลูออเรสเซนซ์ อีกทั้งเป็นวิธีที่มีความสะดวก จึงเหมาะสมสำหรับใช้ในการตรวจหาเรสไปราตอรี ซินไซเทียล ไวรัส จากสิ่งส่งตรวจซึ่งทำเป็นประจำในห้องปฏิบัติการ

ภาควิชา สหสาขาวิชา
สาขาวิชา จุลชีววิทยาทางการแพทย์
ปีการศึกษา 2531

ลายมือชื่อนิสิต
ลายมือชื่ออาจารย์ที่ปรึกษา
.....

พิมพ์ต้นฉบับบทคัดย่อวิทยานิพนธ์ภายในกรอบสี่เหลี่ยมนี้เพียงแผ่นเดียว



JINTANA WOODTAYAGONE : COMPARISON OF IMMUNOFLUORESCENCE, BIOTIN-AVIDIN ELISA, CELL CULTURE AND SHELL VIAL TECHNIQUE FOR DETECTION OF RESPIRATORY SYNCYTIAL VIRUS. THESIS ADVISOR : ASSO. PROF. WANNA PUNNARUGSA, M.D. PP.

Respiratory syncytial virus (RSV) is a major cause of severe lower respiratory infection in infants and young children, and often causes life threatening acute bronchiolitis and pneumonia especially in infants under 1 year of age. The morbidity and mortality is considerable. Early and accurate diagnosis of RSV infection may reduce the use of antibiotic therapy and limit the spread of nosocomial infection. Definitive diagnosis depends on the laboratory. Thus, the objectives of this study were (i) to develop highly sensitive methods, biotin-avidin-ELISA and shell vial technique, for detection of RSV: and (ii) to compare the sensitivity and specificity of four methods: indirect immunofluorescence (IFA), biotin-avidin-ELISA, shell vial technique and conventional cell culture for detection of RSV from nasopharyngeal secretion (NPS) of infants with acute lower respiratory illness.

Development of biotin-avidin-ELISA employed available commercial reagents (Dako, Glostrup, Denmark). Rabbit anti-RSV and normal rabbit immunoglobulin were coated to wells of polystyrene microtiter plates, then the RSV antigens were bound to the coated antibodies. The complex was detected by biotinylated rabbit anti-RSV which then reacted with avidin conjugated peroxidase.

Shell vial technique with centrifugation was used for detection of RSV in the nasopharyngeal secretion. After inoculated the sample into shell vial cell culture, centrifuged at 1,300 g 25°C for 1 hour and incubate at 37°C for 18-24 hours. The viral antigen was determined by IFA using anti-RSV antibody.

One hundred and thirty-three NPS was collected from patients who had lower respiratory tract infection. The NPS was comparatively and parallelly studied for RSV by 4 methods mentioned above. The results yielded 45 RSV positive (33.3%) by shell vial technique. Of these positive specimens, there were 40 (30%) positive by biotin-avidin-ELISA, 36 (27%) by IFA and 32 (24.1%) by conventional cell culture. Comparison to shell vial, the sensitivity of the biotin-avidin-ELISA, IFA and conventional cell culture were 88.9%, 80% and 71% respectively, specificity of all methods were 100%. The positive predictive value of biotin-avidin-ELISA, IFA and conventional cell culture were 100% and the negative predictive value were 94.6%, 90.7% and 88% respectively.

The results indicated that shell vial technique was more sensitive than cell culture for detection of RSV. The shell vial technique was the most sensitive method for detection of RSV in NPS and was suitable to be used as confirmatory method. The biotin-avidin-ELISA was more sensitive than IFA for detection of RSV and it was suitable for routine diagnosis of RSV infection.

ภาควิชา สหสาขาวิชา
สาขาวิชา จิตวิทยาวิเทศวิทยา
ปีการศึกษา 2531

ลายมือชื่อนิสิต *จิตติมา อรรถมงคล*

ลายมือชื่ออาจารย์ที่ปรึกษา *อรรดา พานิชรัตน์*

กิตติกรรมประกาศ



ขอขอบพระคุณ รองศาสตราจารย์ แพทย์หญิงวรรณา พรณรักษา อาจารย์
ที่ปรึกษา และควบคุมงานวิจัยที่กรุณาให้คำปรึกษาแนะนำ ตลอดจนการศึกษาวิจัยในครั้งนี้

ขอขอบพระคุณ อาจารย์ แพทย์หญิงนวลจันทร์ ปราบพาล อาจารย์ แพทย์หญิง
สุภัทรา ลีมอคมพร อาจารย์ประจำภาควิชากุมารเวชศาสตร์ ที่กรุณาจัดส่งตัวอย่างมาที่

ขอขอบพระคุณ รองศาสตราจารย์ นายแพทย์กวี กุ๋ใหญ่สฤษดิ์ หัวหน้าภาควิชา
จุลชีววิทยา คณะแพทยศาสตร์จุฬาลงกรณ์มหาวิทยาลัยที่อนุญาตให้ใช้สถานที่ทำการศึกษาวิจัย

ขอขอบพระคุณ กรมวิทยาศาสตร์การแพทย์ ที่กรุณาให้เซลล์ HEp-2 และ
respiratory syncytial virus สำหรับใช้ในการศึกษาวิจัยนี้

ขอขอบคุณ เพื่อนๆ และเจ้าหน้าที่ห้องไวรัสวิทยาทุกท่าน ที่ได้ให้กำลังใจ ความ
ช่วยเหลือ และให้ความสนับสนุนเป็นอย่างดี

ขอบคุณบัณฑิตวิทยาลัย จุฬาลงกรณ์มหาวิทยาลัย ที่ได้อุทิศทุนการศึกษาให้ทุนนี้

ท้ายที่สุดขอกราบขอบพระคุณ มารดาของข้าพเจ้า ผู้ซึ่งให้ความรัก ความ
เอื้ออาทร ต่อข้าพเจ้า และพี่น้องที่รักทุกคนที่ได้เป็นกำลังใจอันสำคัญ จนทำให้การศึกษา
ในครั้งนี้สำเร็จลุล่วงไปได้ด้วยดี



สารบัญ

	หน้า
บทคัดย่อภาษาไทย.....	ก.
บทคัดย่อภาษาอังกฤษ.....	ข.
กิตติกรรมประกาศ.....	ค.
รายการตารางประกอบ.....	ง.
รายการรูปประกอบ.....	ช.
รายการกราฟประกอบ.....	ซ.
คำย่อ.....	ณ.
บทที่	
1. บทนำ.....	1.
2. วัสดุและวิธีการ.....	15.
3. ผลการทดลอง.....	37.
4. การวิจารณ์ผลการทดลอง.....	71.
5. สรุปผลการทดลองและข้อเสนอแนะ.....	83.
บรรณานุกรม.....	85.
ภาคผนวก.....	101.
ประวัติผู้เขียน.....	107.

รายการตารางประกอบ

ตารางที่	หน้า
1. แสดงยีนและโปรตีนต่าง ๆ ที่ได้จากยีนของ respiratory syncytial virus	6
2. แสดงความเข้มของการเรืองแสงของเซลล์ที่ติดเชื้อ RSV เมื่อย้อมด้วย anti-RSV และ swine anti-rabbit immunoglobulin conjugated-FITC ที่ความเข้มข้นต่าง ๆ ของการตรวจด้วยวิธี IFA	45
3. แสดงความแรงของการบั่นต่อการพบ foci ของ RSV ของการตรวจด้วยวิธีเซลล์ไวอัล	46
4. แสดงผลของอุณหภูมิที่ใช้ ในการบั่นต่อการพบ foci ของ RSV ของการตรวจด้วยวิธีเซลล์ไวอัล	47
5. แสดงระยะเวลาที่ใช้ ในการบั่นต่อการพบ foci ของ RSV ของการตรวจด้วยวิธีเซลล์ไวอัล	48
6. แสดงค่า optical density ที่ความเข้มข้นต่าง ๆ กัน ของbiotinylated anti-RSV และ avidin conjugated peroxidase เพื่อหาความเข้มข้นที่เหมาะสม สำหรับนำไปใช้ในการศึกษาสภาวะที่เหมาะสมของการตรวจด้วยวิธี ไบโอดีท-อวิดิน-อีไลซา	49
7. แสดงค่า optical density ที่ความเข้มข้นต่าง ๆ กัน ของโปรตีนที่ ใช้เคลือบ plate เพื่อหาความเข้มข้นที่เหมาะสมสำหรับนำไปใช้ในการศึกษาสภาวะที่เหมาะสมของการตรวจด้วยวิธี ไบโอดีท-อวิดิน-อีไลซา	50

8. แสดงค่า optical density เมื่อเคลือบ plate ที่
อุณหภูมิต่าง ๆ 51
9. แสดงค่า optical density ของการเคลือบ plate
ที่อุณหภูมิ 37°C. ในเวลาด่าง ๆ กัน 52
10. แสดงค่า optical density สำหรับปฏิกิริยาในขั้นตอน
การเติม RSV-antigen ที่อุณหภูมิต่าง ๆ กัน 54
11. แสดงค่า optical density สำหรับปฏิกิริยาในขั้นตอน
การเติม RSV-antigen ที่อุณหภูมิต่าง ๆ กัน 55
12. แสดงค่า optical density สำหรับปฏิกิริยาใน
ขั้นตอนของการเติม biotinylated anti-RSV
ที่อุณหภูมิต่าง ๆ 57
13. แสดงค่า optical density สำหรับปฏิกิริยาในขั้น
ตอนของการเติม biotinylated anti-RSV ที่อุณหภูมิ
ห้องในเวลาด่าง ๆ กัน 58
14. แสดงค่า optical density สำหรับปฏิกิริยาในขั้นตอน
ของการเติม avidin-conjugated peroxidase ที่
อุณหภูมิต่าง ๆ 60
15. แสดงค่า optical density สำหรับปฏิกิริยาในขั้นตอน
ของการเติม avidin-conjugated peroxidase ที่
อุณหภูมิต่าง ๆ ในเวลาด่าง ๆ กัน 61
16. แสดงค่า optical density ของการทำปฏิกิริยา
ระหว่างเอนไซม์กับ substrate ที่เวลาด่าง ๆ 63
17. แสดงค่า optical density ของการ titrate ทา
ความเข้มข้นที่เหมาะสมของ biotinylated anti-RSV
และ avidin conjugated peroxidase เมื่อทำปฏิกิริยา
ในสภาวะที่เหมาะสม 64

การางที่

หน้า

- | | |
|--|----|
| 18. แสดงค่า optical density ของการ titrate ทา
ความเข้มข้นที่เหมาะสมของโปรตีนที่ใช้เคลือบ plate
เมื่อทาปฏิกิริยาในสภาวะที่เหมาะสม | 65 |
| 19. แสดงสภาวะและความเข้มข้นของน้ำยาที่เหมาะสมในการ
ทาปฏิกิริยาสำหรับการตรวจหา RSV antigen ด้วยวิธี
ไบโอดิน-อวิดิน-อีไลซา | 66 |
| 20. แสดงความเที่ยงตรง (precision) ของการตรวจด้วย
วิธีไบโอดิน-อวิดิน-อีไลซา | 67 |
| 21. แสดงความเชื่อถือได้ (reproducibility) ของการ
ตรวจด้วยวิธีไบโอดิน-อวิดิน-อีไลซา | 68 |
| 22. เปรียบเทียบผลการตรวจหา RSV จากสิ่งส่งตรวจของคน
ใช้ด้วยวิธี IFA, biotin-avidin-ELISA, shell
vial technique และ cell culture | 69 |
| 23. เปรียบเทียบผลการตรวจหา RSV ด้วยวิธี cell
culture และวิธี shell vial technique | 69 |
| 24. เปรียบเทียบผลการตรวจหา RSV จากสิ่งส่งตรวจของคน
ใช้จำนวน 133 ราย ด้วยวิธี biotin-avidin-ELISA
กับวิธี shell vial technique | 70 |
| 25. เปรียบเทียบผลการตรวจหา RSV จากสิ่งส่งตรวจของ
คนใช้จำนวน 133 ราย ด้วยวิธี IFA กับวิธี shell
vial technique | 70 |
| 26. เปรียบเทียบคุณสมบัติต่าง ๆ ของการตรวจวินิจฉัยการติด
เชื้อ RSV ด้วยวิธี shell vial technique, biotin-
avidin-ELISA, IFA, และวิธี cell culture | 80 |



๗

รายการรูปประกอบ

รูปที่	หน้า
1. แสดงเซลล์ HEp-2 ปกติ	34
2. แสดงการเกิด cytopathic effect (CPE) ของ เซลล์ HEp-2 ที่เกิดจาก respiratory syncytial virus	34
3. แสดงผลลบของการตรวจด้วยวิธีเซลล์ไวอัล (shell vial technique)	35
4. แสดงผลบวกของการตรวจด้วยวิธีเซลล์ไวอัล (shell vial technique)	35
5. แสดงผลลบของการตรวจด้วยวิธีอิมมูโนฟลูออเรสเซนซ์ (indirect immunofluorescence)	36
6. แสดงผลบวกของการตรวจด้วยวิธีอิมมูโนฟลูออเรสเซนซ์ (Indirect immunofluorescence)	36

รายการกราฟประกอบ

กราฟรูปที่	หน้า
1. แสดงค่าเฉลี่ยของผลต่างของ OD เมื่อเคลือบ plate ที่อุณหภูมิ 37°ซ. ที่เวลาต่าง ๆ กัน	53
2. แสดงค่าเฉลี่ยของผลต่างของ OD สำหรับปฏิกิริยานชั้นตอนของการเติม RSV-antigen ที่อุณหภูมิห้อง (22-25°ซ.) ที่เวลาต่าง ๆ กัน	56
3. แสดงค่าเฉลี่ยของผลต่างของ OD สำหรับปฏิกิริยานชั้นตอนของการเติม biotinylated anti-RSV ที่อุณหภูมิห้อง (22-25°ซ.) ที่เวลาต่าง ๆ กัน	59
4. แสดงค่าเฉลี่ยของผลต่างของ OD สำหรับปฏิกิริยานชั้นตอนของการเติม avidin-conjugated peroxidase ที่อุณหภูมิห้อง (22-25°ซ.) ที่เวลาต่าง ๆ กัน	62

คำย่อ

เซลล์ไวรัล	การเพาะแยกเชื้อไวรัสด้วยวิธีเซลล์ไวรัล
ซม.	ซั้วมม
องศ	องศาเซนติเกรด
มม.	มิลลิเมตร
มล.	มิลลิลิตร
a-RSV	rabbit anti-respiratory syncytial virus
cell culture	conventional cell culture
CPE	cytopathic effect
ELISA	Enzyme-Linked Immunosorbent Assay
IgA	immunoglobulin A
IgM	immunoglobulin M
IFA	indirect immunofluorescence
IP	immunoperoxidase
kda	kilodaltons
MW	น้ำหนักโมเลกุล (molecular weight)
NRI	normal rabbit immunoglobulin
NPS	nasopharyngeal secretion
nm	นาโนเมตร (nanometre)
OD	optical density
PBS	phosphate buffer saline
RSV	respiratory syncytial virus
TCID50	50 % tissue culture infective dose